



哈爾濱工業大學 (深圳)
HARBIN INSTITUTE OF TECHNOLOGY

实验作业

开课学期: 2022 春季

课程名称: 计算机组成原理 (实验)

实验名称: Booth 乘法器设计

实验性质: 综合设计型

实验学时: 4 地点:

学生班级: 计算机类 4 班

学生学号: 200110428

学生姓名: 杨杰睿

作业成绩:

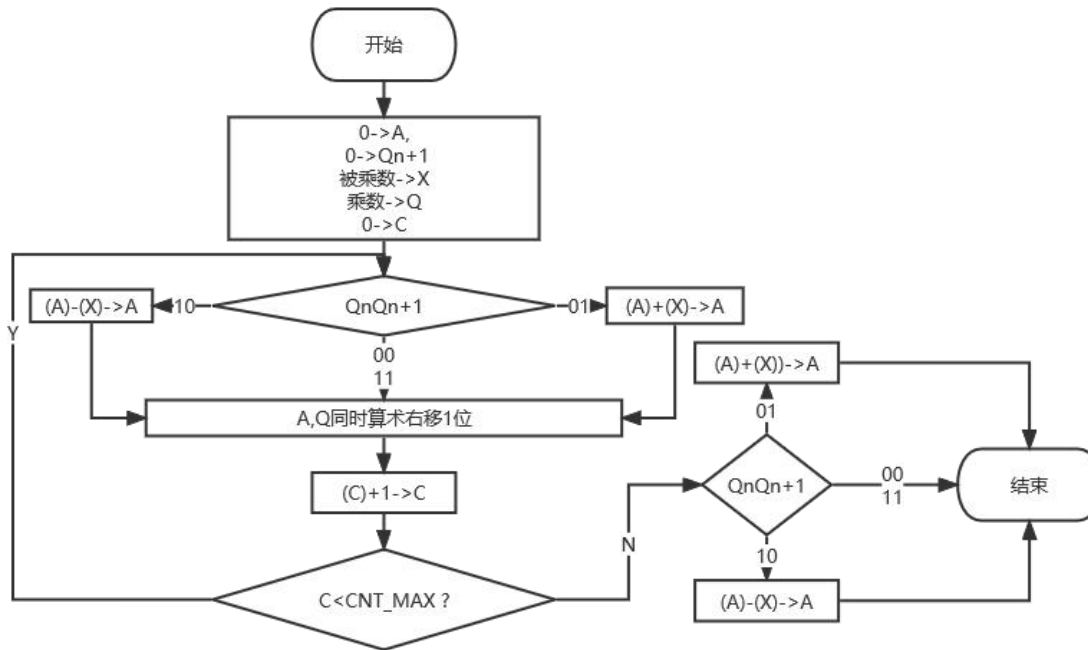
实验与创新实践教育中心制

2022 年 4 月

1、Booth 乘法器算法流程图

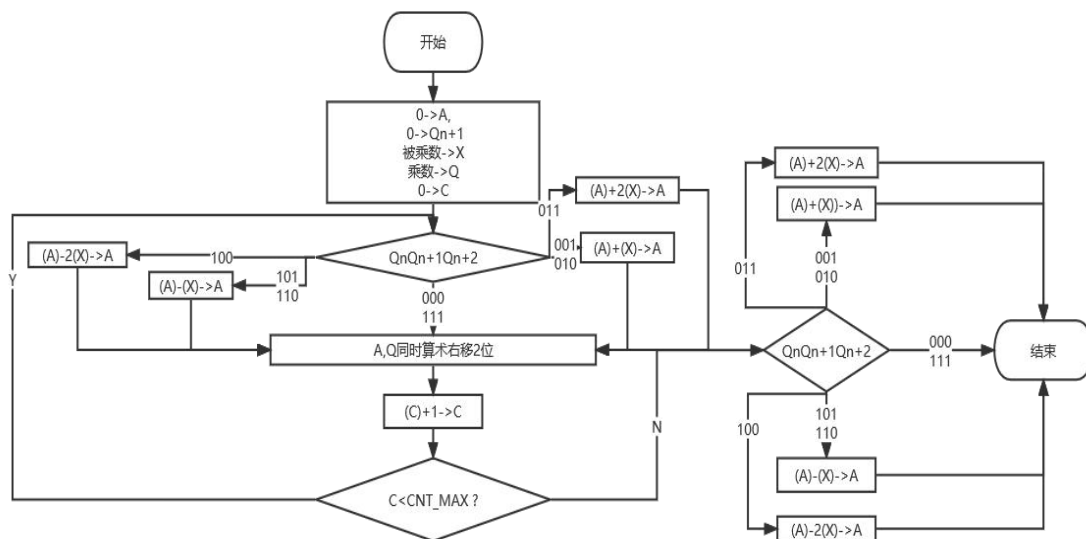
Booth 算法流程图:

booth.v



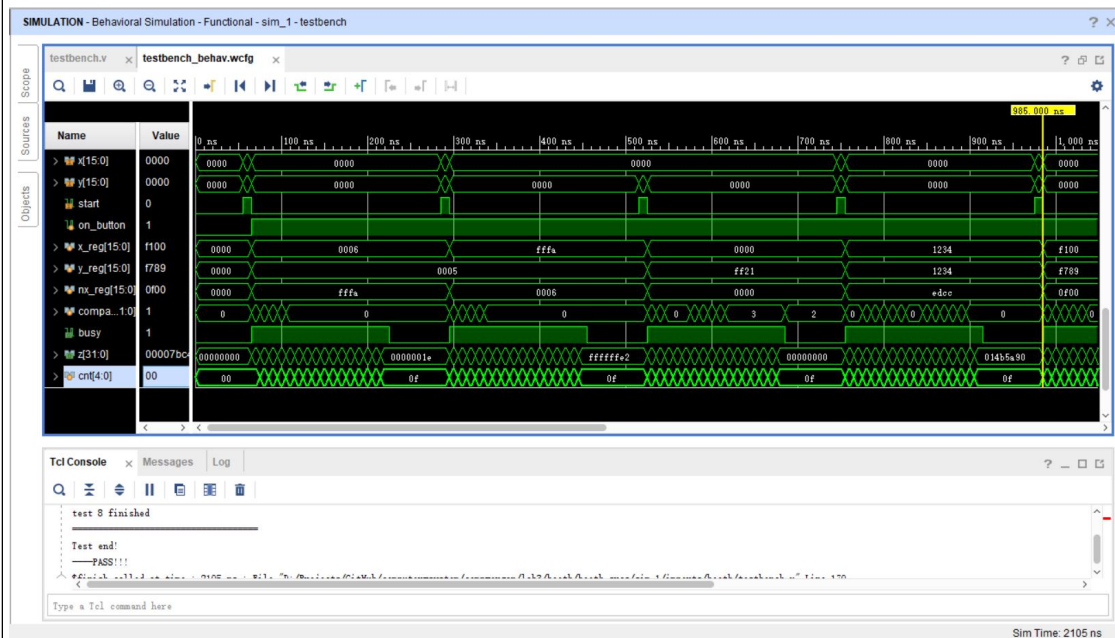
改进的 Booth 算法流程图:

booth2.v



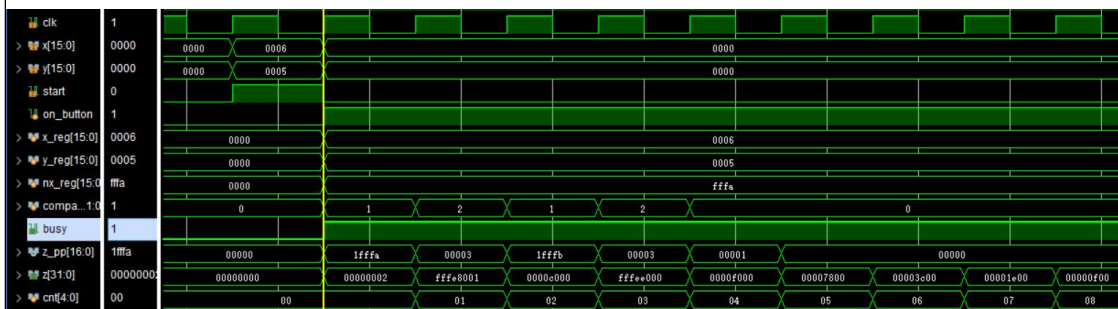
2、调试报告

booth.v 仿真通过，波形截图如下所示：



booth.v 乘法运算分析：

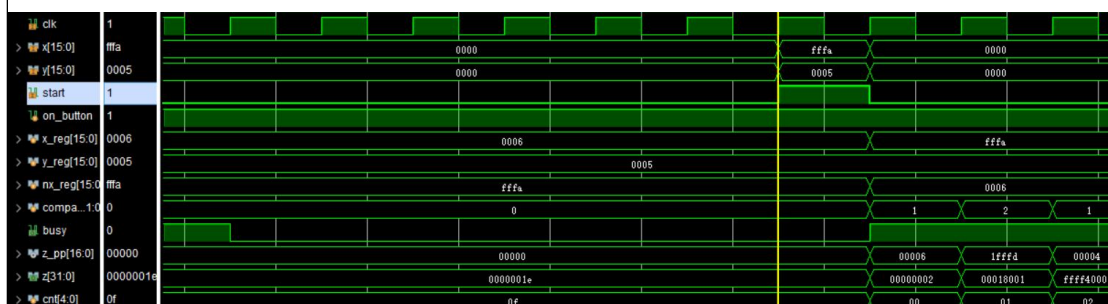
0ns-55ns: 在计算开始前，各寄存器值均为 0，on_button 标记为 0



(1) 第 1 次乘法分析：

55ns-65ns: start 拉高一个周期，在这个周期各寄存器初始化，周期结束后完成赋值

65ns-75ns: on_button, busy 信号拉高，初始时截取 y 的前 15 位放入 z 的低 15 位的 z 的初始值 2, $[y_{n+1} y_n] = [0 \ 1]$ ，加 $-x$ 的补码 $[f \ f \ f \ a]$ 。当前高 17 位部分和（双符号位）为 $z_{pp} = [1 \ f \ f \ a]$ ，周期结束后，部分和加上原 z 值并完成右移 1 次，

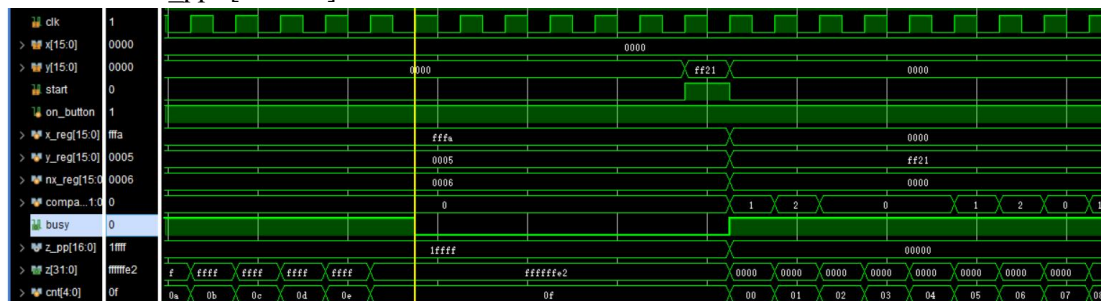


285ns-295ns: start 拉高一个周期, 在这个周期各寄存器初始化, 周期结束后完成赋值, 得到初始化 $z=[0\ 0\ 0\ 0\ 0\ 0\ 2]$ 。

295ns-305ns: $[y_{n+1} \ y_n]=[0 \ 1]$, 加-x 的补码 $[0 \ 0 \ 0 \ 6]$ 。当前高 17 位部分和（双符号位）为 $z_{pp}=[0 \ 0 \ 0 \ 0 \ 6]$, 周期结束后, 部分和加上原 z 值并完成右移 1 次, 进行符

号扩展，得到 $z=[0\ 0\ 0\ 1\ 8\ 0\ 0\ 1]$ 。

305ns-315ns: $[y_{n+1}\ y_n]=[1\ 0]$ ，加 x 的补码 $[f\ f\ f\ a]$ 。当前高 17 位部分和（双符号位）为 $z_pp=[1\ f\ f\ d]$ ，周期结束后，部分和加上原 z 值并完成右移 1 次，进行符号扩展，得到 $z=[f\ f\ f\ f\ 4\ 0\ 0\ 0]$ 。



号扩展，得到 $z=[f\ f\ f\ f\ 4\ 0\ 0\ 0]$ 。

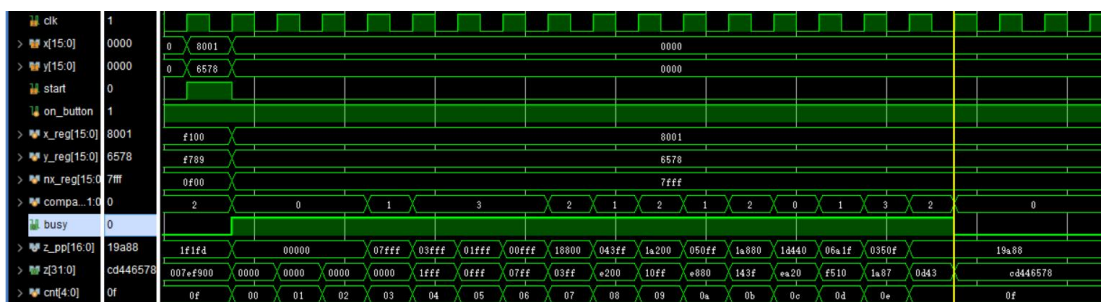
315ns-325ns: $[y_{n+1}\ y_n]=[0\ 1]$ ，加 $-x$ 的补码 $[0\ 0\ 0\ 6]$ 。当前高 17 位部分和（双符号位）为 $z_pp=[0\ 0\ 0\ 4]$ ，周期结束后，部分和加上原 z 值并完成右移 1 次，进行符号扩展，得到 $z=[0\ 0\ 0\ 1\ 2\ 0\ 0\ 0]$ 。

325ns-335ns: $[y_{n+1}\ y_n]=[1\ 0]$ ，加 x 的补码 $[f\ f\ f\ a]$ 。当前高 17 位部分和（双符号位）为 $z_pp=[1\ f\ f\ c]$ ，周期结束后，部分和加上原 z 值并完成右移 1 次，进行符号扩展，得到 $z=[f\ f\ f\ f\ 1\ 0\ 0\ 0]$ 。

335ns-455ns: $[y_{n+1}\ y_n]=[0\ 0]$ 。当前 z 逐次右移，直到 15 次右移完成后， $busy$ 信号拉低，最终得到 $z=[f\ f\ f\ f\ f\ e\ 2]$ 。

455ns-515ns: z 值保持不变，计数器 cnt 保持不变， $busy$ 信号保持低位。

(3) 第 5 次乘法分析（因此次执行了完整的 16 个周期计算，且含有 debug 过程记录附



后)

具体的分析过程同上两次乘法运算，下面简要总结过程中出现的计算情况：

- 从 1215ns-1375ns 共计 16 个时钟周期， $busy$ 处于高位，总共完成完整的 16 个

周期的计算过程。

- 输入的 x , y 分别为[8 0 0 1]和[6 5 7 8], 经计算得的 $-x$ 为[7 f f f] (均为补码表示)
- 向量 comparator 即[y_{n+1} y_n]在各个周期 (16 个计算周期+剩余周期) 的取值为:

[0 0] => [0 0] => [0 0] => [0 1] => [1 1] => [1 1] => [1 1] => [1 0] =>

[0 1] => [1 0] => [0 1] => [1 0] => [0 0] => [0 1] => [1 1] => [1 0] =>

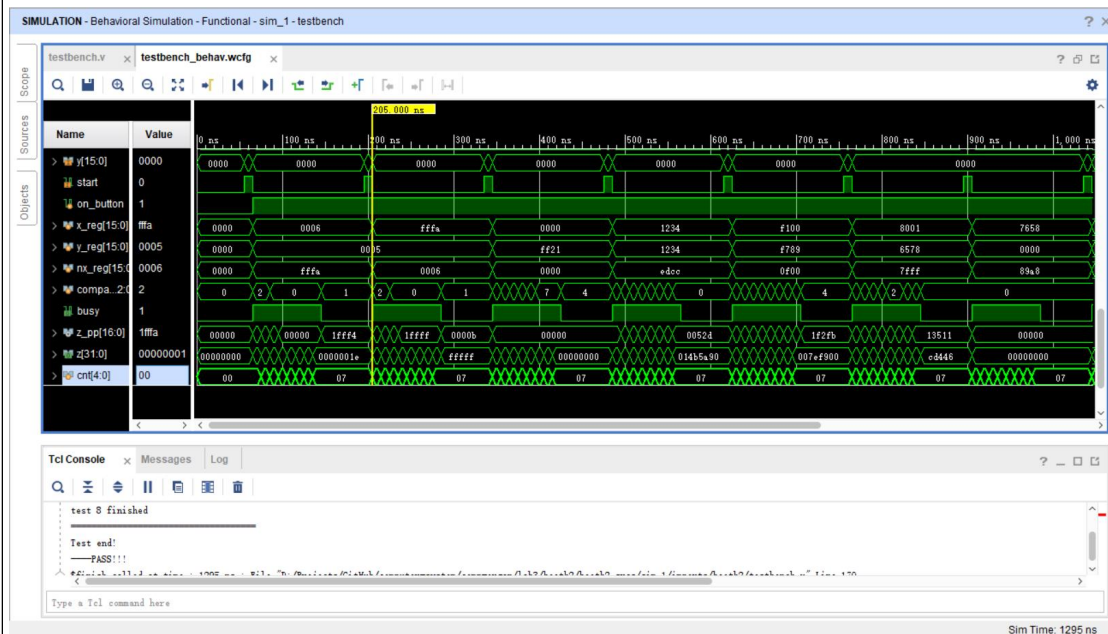
[0 0] (此后全[0 0])

- 对于取值为[0 0]和[1 1]的周期, z 右移 1 位, 并进行符号扩展
- 对于取值为[0 1]的周期, 部分和 z_pp 加上 $-x$, 与 z 的高 17 位相加, 并完成 z 的右移和符号扩展
- 对于取值为[1 0]的周期, 部分和 z_pp 加上 x , 与 z 的高 17 位相加, 并完成 z 的右移和符号扩展

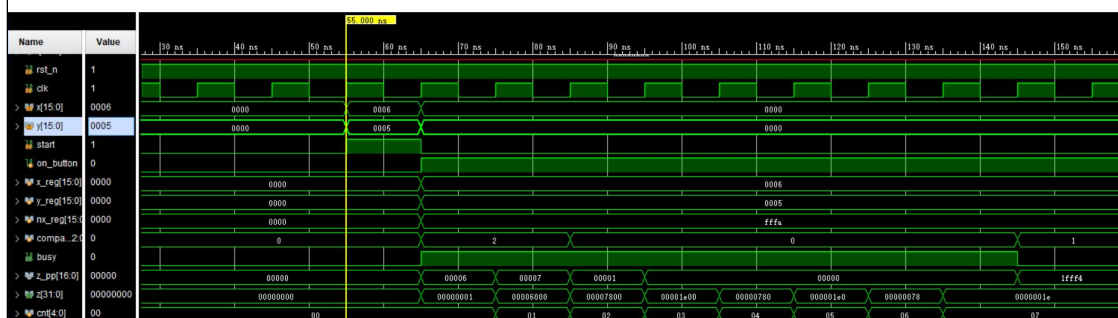
波形图如上所示, 需要特别指出的是, 在第 16 个周期, 即 $cnt=15$ 时 (因为 0 时占据了一个周期), z 在完成计算后, 不再进行右移, 因为 z 的低位从起初是截取的 y 的高 15 位存放的, 在计算过程中, 当 y 的高 15 位被完全移出 z 后, 计算完成, 总共需要右移 15 次, 故第 16 个周期时, 在不应当继续右移。最终可以计算出 z 的正确答案为 $z=[c\ d\ 4\ 4\ 6\ 5\ 7\ 8]$ 。

下附 debug 过程的手算记录，代码此前因最后 1 个周期没有计算部分和 z_pp 导致了错误，检查计算过程更正了代码：

booth2.v 仿真通过，波形截图如下：



booth2.v 乘法运算分析：



(1) 第 1 次乘法分析

0-55ns: 在 rst_n 高位后，第一次 $start$ 启动前，寄存器的值均置 0

55ns-65ns: $start$ 高位，这个周期中 $start$ 的高有效使得 x_reg 和 y_reg 在该周期结束后被赋值， z 作为线网类型其低位在这一周期结束后通过 z_reg 赋值与 y 的高 14 位相同。

65ns-75ns: $busy$ 高位，乘法器开始正式计算， z 低位的值在这一周期被赋值为 y 的高 14 位即(二进制)[0000 0000 0000 0101]的前 14 位，为(十六进制)[00000001]。 $[y_{n+2} y_{n+1} y_n]=[0 \ 1 \ 0]$ ， z_pp 保存 $z[30:14]$ 与 x 的双符号位补码之和，在这一周期结束后， z 的值高位由部分和 z_pp 右移 2 位后填充，低位为原 $z[13:2]$ ，在这周期

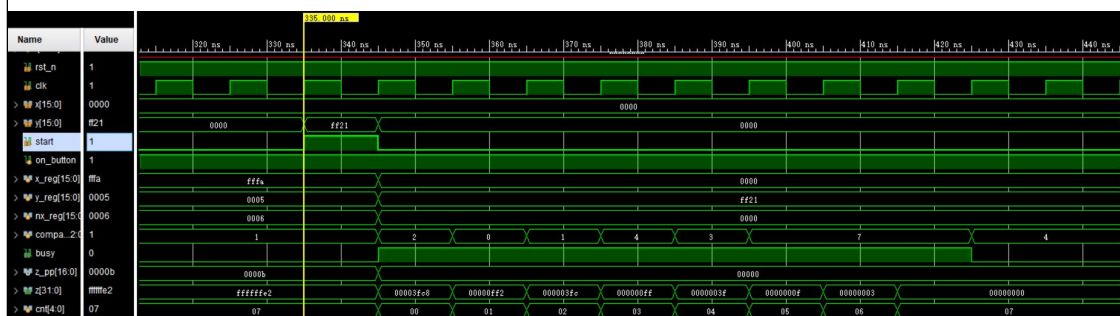
结束后, $z=[00006000]$ 。

75ns-85ns: busy 高位, $[y_{n+2} y_{n+1} y_n]=[0\ 1\ 0]$, z_pp 保存 $z[30:14]$ 与 x 的双符号位补码之和, 在这一周期结束后, z 的值高位由部分和 z_pp 右移 2 位后填充, 低位为原 $z[13:2]$, 在这周期结束后, $z=[0\ 0\ 0\ 0\ 7\ 8\ 0\ 0]$

85ns-145ns: busy 高位, $[y_{n+2} y_{n+1} y_n]=[0\ 0\ 0]$, z_pp 保存 $z[30:14]$ 与 x 的双符号位补码之和, 在每一周期结束后, z 的值高位均由部分和 z_pp 右移 2 位后填充, 低位为原 $z[13:2]$, 在这 6 个周期结束后, $z=[0\ 0\ 0\ 0\ 0\ 0\ 1\ e]$

145ns-195ns: busy 低位, 计算已经在上一周期结束, z 保持不变, $[y_{n+2} y_{n+1} y_n]$ 收到算法的影响会进行一次计算, 之后保持不变。计数器保持不变。

(2) 第 3 次乘法分析



335-345ns: 本次 start 启动前, 寄存器的值保持上一周期结果不变, 在 start 拉高位之后, 各寄存器的值将在本周期结束后更新。

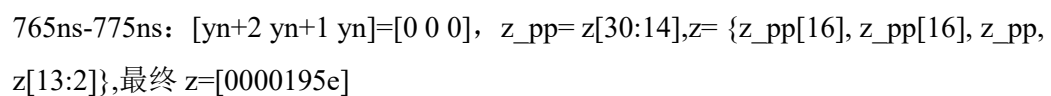
345ns-425ns: start 高位, 这 8 个周期中 $[y_{n+2} y_{n+1} y_n]$ 变化如下所示:

$[0\ 1\ 0] \Rightarrow [0\ 0\ 0] \Rightarrow [0\ 0\ 1] \Rightarrow [1\ 0\ 0] \Rightarrow [0\ 1\ 1] \Rightarrow [1\ 1\ 1] \Rightarrow [1\ 1\ 1]$

但受到 x 取值为 0 的影响, 部分积 z_pp 始终为 0, 在进行计算 (如 $[0\ 1\ 0]$ 为 x 的 1 倍加法, $[0\ 0\ 1]$ 为 $-x$ 的 2 倍加法) 的过程中, 实际上相当于始终每个周期将 z 的值左移 2 位, 最终得到 $z=[0\ 0\ 0\ 0\ 0\ 0\ 0\ 0]$

425ns-475ns: busy 低位, 计算已经在上一周期结束, z 保持不变, $[y_{n+2} y_{n+1} y_n]$ 收到算法的影响会进行一次计算, 之后保持不变。计数器保持 7 不变。

(3) 第 5 次乘法分析



775ns-785ns: [yn+2 yn+1 yn]=[0 0 1], z_pp= {nx_reg[15], nx_reg} + {nx_reg[15], nx_reg} + z[30:14], z= {z_pp[16], z_pp[16], z_pp, z[13:2]}, 最终 z=[00000657]

```
785ns-795ns: [yn+2 yn+1 yn]=[1 1 1], z_pp = z[30:14], z= {z_pp[16], z_pp[16], z_pp,
z[13:2]}, 最终 z=[0fffe195]
```

795ns-805ns: [yn+2 yn+1 yn]=[1 1 0], z_pp = {x_reg[15], x_reg} + {x_reg[15], x_reg}
+ z[30:14], 最终 z=[03fff865]

805ns-815ns 及 815ns-825ns: $[y_{n+2} \ y_{n+1} \ y_n] = [0 \ 1 \ 0]$, $z_pp = \{x_reg[15], x_reg\} + z[30:14]$, $z = \{z_pp[16], z_pp[16], z_pp, z[13:2]\}$, 最终 $z = [74401786]$

825ns-835ns: [yn+2 yn+1 yn]=[0 0 1], z_pp={nx_reg[15], nx_reg} + {nx_reg[15], nx_reg} + z[30:14], 最终 z=[751015e1]

835ns-845ns: [y_{n+2} y_{n+1} y_n]=[1 1 0], z_pp={x_reg[15], x_reg} + {x_reg[15], x_reg}
+ z[30:14], 最终 z=[0d43e578]

845ns-855ns:在上一周期结束后计算出 $z=[cd446578]$, 在本周期开始前完成赋值

剩余周期各寄存器保持不变，直到下一次 start 高位